赤外イメージングによる量子ドットアレイセンサの評価

The Evaluation of QDIP Array Sensor by Infrared Imaging NEC スマエネ研¹, NEC もの統本², 東大ナノ量子機構³, 東大生研⁴

〇黄晨暉¹, 田中朋¹, 各務惣太^{1,3}, 角田雅弘³, 渡邉克之⁴, 井上晴², 難波兼二², 五十嵐悠一^{1,3}, 田能村昌宏¹, 南部芳弘^{1,3}, 山本剛^{1,3}, 萬伸一^{1,3}, 荒川泰彦^{3,4} NEC SE Labs¹, NEC MI Division², NanoQuine³, IIS the Univ. of Tokyo⁴

°C. Huang¹, T. Tanaka¹, S. Kagami^{1,3}, M. Kakuda³, K. Watanabe⁴, S. Inoue², K. Nanba², Y. Igarashi^{1,3}, M. Tanomura¹, Y. Nambu^{1,3}, T. Yamamoto^{1,3}, S. Yorozu^{1,3}, Y. Arakawa^{3,4}
E-mail: c-huang@ay.jp.nec.com

1. はじめに

熱赤外イメージング技術は産業, 医療, 資源 探索などの分野に応用されており, 更なる高感 度が要求されている. 近年量子ドット赤外線検 出器 (Quantum Dot Infrared Photodetector: QDIP)は高感度かつ低暗電流な赤外線検出器 として研究され, 我々のグループは近接障壁層 構造を持つ単素子 QDIP の比検出能 D*の向上 を確認した[1]. 本研究ではその構造を採用し た波長 5.5 μm の赤外光に対して感度ピークを 持つ QDIP によりアレイセンサ (Focal Plane Array: FPA) を製作し、画像取得をするための 性能評価およびイメージングを行った.

2. FPA の作製

図 1 に実装した FPA の写真を示す. FLIR 社製読み出し回路 (ROIC) ISC9705 の仕様に合わせ、センサ素子の仕様をピッチ 30 μ m、画素サイズ 24 μ m 角、素子数 256 x 320 と設定した. FPA と ROIC をフリップチップボンディング手法で貼り合わせ、接続バンプ金属には In を採用した.

3. FPA の性能評価

FPA で生成する赤外画像は Pulse Instrument 社製の画像取得システムによって取得され, 標 準面光源黒体炉の赤外画像を用いて FPA の温 度分解能 (Noise-equivalent temperature difference: NETD) とオペラビリティ(素子正 常動作率) の評価を行った. F/#=2 のレンズを 用い,光学系の結像倍率は0.6倍である.評価 は FPA を液体窒素温度に冷却して行われた. 黒体放射面を撮像した際の出力ヒストグラム から中心値 V₀ および全素子出力の標準偏差 σ を求め、 V_0 -2 σ 以下と V_0 +2 σ 以上の素子をそれ ぞれオープン素子とショート素子と定義した. オープン素子とショート素子を除いたオペラ ビリティはおよそ 94%である. 図 2 に正常動 作素子の 300 K のターゲットに対する NETD のヒストグラムを示す. これに基づいて計算し た FPA の NETD は 682 mK であり、ピークの 半値幅は 190 mK である.

4. FPA の画像評価

画質を向上させるために FPA 素子特性の不均一性補正を行った. 黒体の高・低温画像と生画像を利用し、前述したオペラビリティとNETD データに基づいて二点 NUC (Non-uniformity Correction)と欠損素子補正を行った. 図3に補正前(左図)と補正後(右図)の約670 Kの半田ごての画像を示す. 我々が製作した FPA を用いて赤外画像の取得が十分可能であることがわかる.

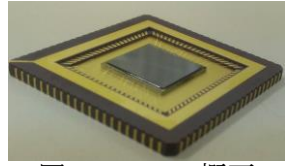


図1 FPAの概要

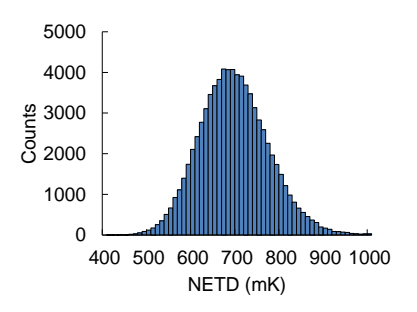
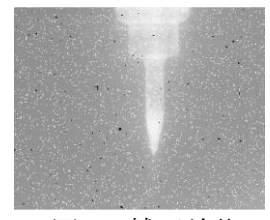


図 2 NETD のヒストグラム



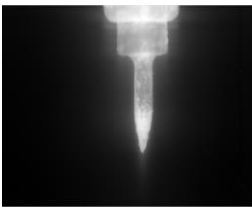


図3 補正前後の半田ごての熱画像

<u>謝辞</u> 本研究は文部科学省イノベーションシステム整備事業により遂行された。

参考文献

[1] 各務他、第 61 回応用物理学会春季学術講演会 18a-F9-5 (2014).